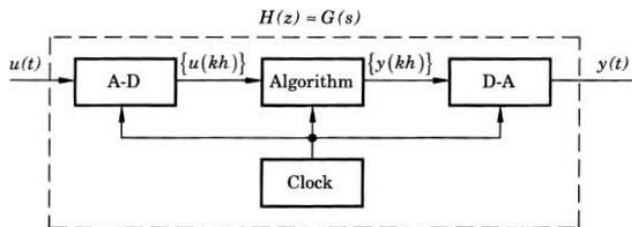


# Control Computarizado - PID digital

Kjartan Halvorsen

2020-07-09

## Discretización de un controlador continuo



**Figure 8.1** Approximating a continuous-time transfer function,  $G(s)$ , using a computer.

- ▶ Dado un controlador obtenido de un diseño en tiempo continuo
- ▶ Es necesario discretizarlo para implementarlo en una computadora

# Métodos de discretización

Introduciendo el operador diferencial:  $p f(t) = \frac{d}{dt} f$

1. Euler (diferencia hacia adelante)  $p \approx \frac{q-1}{h}$ . Substituir

$$s = \frac{z-1}{h}$$

en  $F(s)$  para obtener

$$F_d(z) = F(s')|_{s'=\frac{z-1}{h}}.$$

2. Euler hacia atras  $p \approx \frac{1-q^{-1}}{h} = \frac{q-1}{hq}$ . Substituir

$$s = \frac{z-1}{zh}$$

en  $F(s)$  para obtener

$$F_d(z) = F(s')|_{s'=\frac{z-1}{zh}}.$$

## Métodos de discretización

3. El método de Tustin (transformada bilineal). Substituir

$$s = \frac{2}{h} \frac{z - 1}{z + 1}$$

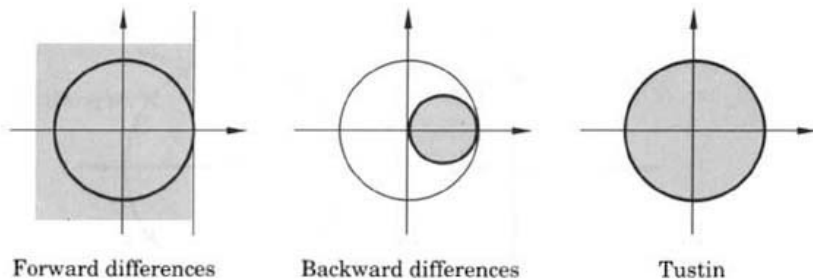
en  $F(s)$  para obtener

$$F_d(z) = F(s')|_{s' = \frac{2}{h} \cdot \frac{z-1}{z+1}}.$$

4. Discretización invariante a la rampa. Similar a discretización con ROC. La transformada  $z$  de una rampa es  $\frac{zh}{(z-1)^2}$  y su transformada de Laplace  $1/s^2$ . La discretización es dado por

$$F_d(z) = \frac{(z-1)^2}{zh} \mathcal{Z} \left\{ \mathcal{L}^{-1} \left\{ \frac{F(s)}{s^2} \right\} \right\}.$$

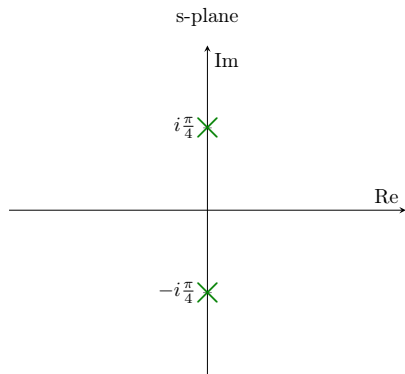
## Mapeo de la región estable del plano $s$



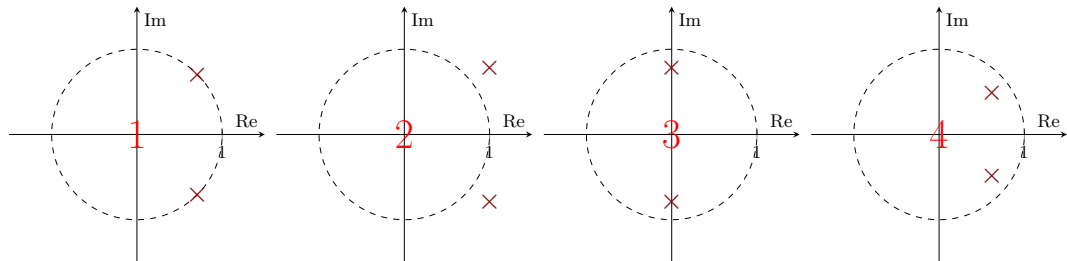
**Figure 8.2** Mapping of the stability region in the  $s$ -plane on the  $z$ -plane for the transformations (8.4), (8.5), and (8.6).

Åström and Wittenmark *Computer-controlled systems*

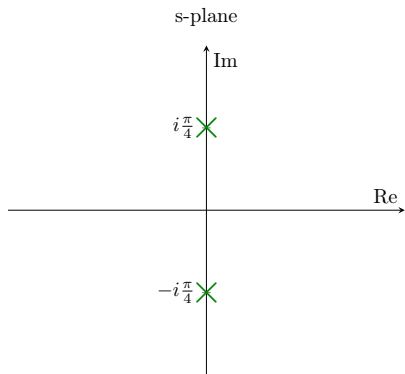
## Forward difference exercise



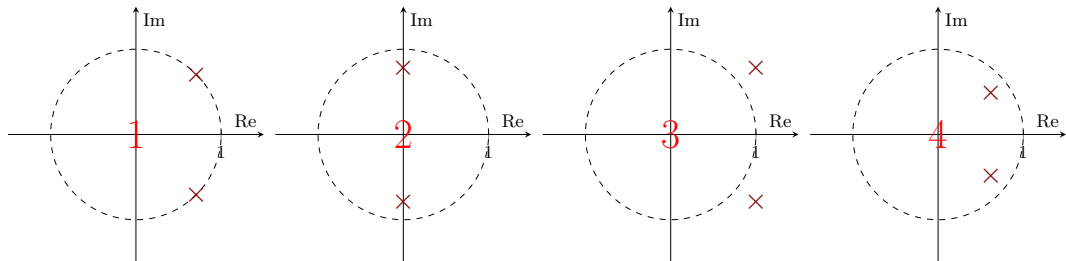
Which of the below figures shows the correct mapping of the continuous-time poles using the **forward difference**  $z = 1 + sh$  with  $h = 1$ ?



# Backward difference exercise



Which of the below figures shows the correct mapping of the continuous-time poles using the **backward difference**  $z = \frac{1}{1-sh}$  with  $h = 1$ ?



# PID tipo ISA

ISA - International Society of Automation

$$F(s) = K \left( 1 + \frac{1}{T_i s} + T_d s \right)$$

Con filtro pasobajo para el parte derivativo

$$F(s) = K \left( 1 + \frac{1}{T_i s} + \frac{T_d s}{\frac{T_d}{N} s + 1} \right), \quad N \approx 3 - 10$$



## PID tipo ISA - parte derivativo

$$F(s) = K \left( 1 + \frac{1}{T_i s} + \frac{T_d s}{\frac{T_d}{N} s + 1} \right), \quad N \approx 3 - 10$$

Actividad en pares Dibuja el diagrama de Bode (solo la magnitud) del parte derivativo

$$F_d(s) = \frac{T_d s}{\frac{T_d}{N} s + 1}$$

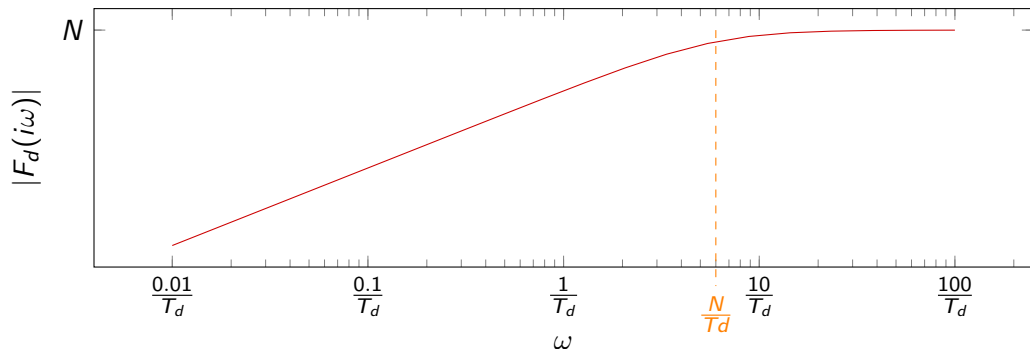
usando las aproximaciones de baja y alta frecuencia

$$\omega \text{ small: } F_d(i\omega) \approx T_d i\omega$$

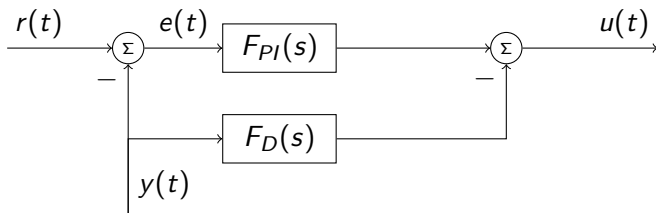
$$\omega \text{ large: } F_d(i\omega) \approx \frac{T_d i\omega}{\frac{T_d}{N} i\omega} = N$$

## PID tipo ISA - parte derivativo, solución

$$F(s) = K \left( 1 + \frac{1}{T_i s} + \frac{T_d s}{\frac{T_d}{N} s + 1} \right), \quad N \approx 3 - 10$$

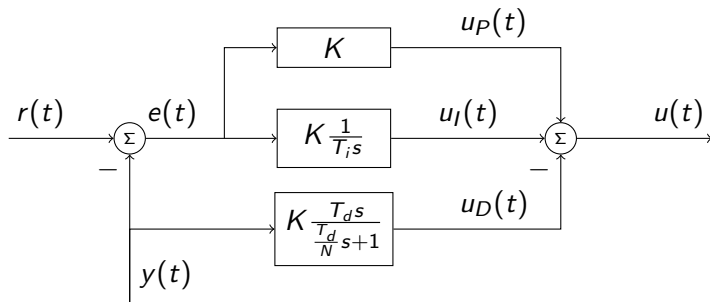


## PID con acción derivada sobre la variable de proceso



$$U(s) = \underbrace{K \left( 1 + \frac{1}{T_i s} \right)}_{F_{PI}(s)} E(s) - \underbrace{\frac{T_d s}{\frac{T_d}{N} s + 1}}_{F_D} Y(s)$$

## Discretización común del PID



$$U(s) = U_P(s) + U_I(s) - U_D(s) = KE(s) + K \frac{1}{T_i s} E(s) - \frac{T_d s}{\frac{T_d}{N} s + 1} Y(s)$$

# Sintonización de un PID

El idea